

九州大学 土力研 正員 中村泰治，工学部 学生員 藤本聰
九州産業大学 工学部 正員 吉村健

1 緒言

一般に、矩形断面柱は「湯動振」と「ギャロッピング」とが混在する典型的な断面として知られています。また、1:2矩形断面、及び、1:4矩形断面では「低風速不安定現象」が生じ、その発生メカニズムの解明に、最近、メスゴ¹⁾を入れられつつある。

湯動振は、カルマン渦と物体（モデル）とが共振点附近で交互に絡み合った結果生じる不安定現象として説明することができます。一方、低風速不安定現象はカルマン渦とは無関係な不安定現象であり、物体運動にともない前線から剥離するせん断層によって生じることが知られています。¹⁾

そこで、本実験では1:1、及び、1:2矩形断面に対してスプリッタープレートをモデル背後にセットすることによりカルマン渦を消失させ、スプリッタープレートの無い場合（カルマン渦はそのままの状態で存在している）との空力係数率（ここでは、 $\delta\alpha$ と記す）の比較をしてみることにした。

2 実験装置

実験は九大土力研津屋崎実験場の高さ×幅 = 3m × 0.7m の測定部断面ともつ風洞で行なった。モデルはウッドラック型で1:1矩形断面（以下、1:1と略す）の場合、高さ H = 0.15m、幅 b = 0.15m、スパン l = 0.66m、1:2矩形断面（以下、1:2と略す）の場合には H = 0.15m、 b = 0.30m、 l = 0.66mである。また、本実験は曲げ1自由度で行なっており、1:1では無次元振幅 γ (= y/H ；ここで y は曲げ振幅)が2.5%には、たてポイントでの空力係数率を、1:2では γ が5%には、たてポイントでの空力係数率を求めている。無次元質量は1:1の場合、 $2M/\rho H^2 l = 258.6$ 、1:2の場合、 $2M/\rho H^2 l = 258.0$ である。（ここで M ：モデルの質量、 ρ ：空気密度、 H ：モデルの高さ、 l ：モデルのスパン）

3. 実験結果

モデル背後にスプリッタープレートをセットすると、一方 平均流に変化を生じ、他方 後流振動（ストローク成分）が消失する。本実験の目的となる状態は後流振動のが消失する状態であり、その意味からも、スプリッタープレートをモデル背後にセットすることは若干問題がないわけでもない。しかし、低風速域を考えてみると、物体振動による非定常性が卓越し、平均流の変化が薄視しうるであろうことは フィジカル的に明らかである。したがって、低風速域に関してはスプリッタープレートをモデル背後にセットすることには、本実験の目的（すなわち、カルマン渦を消失すること）に合致する。

振動実験に先立ち、スプリッタープレートをモデル背後にセットした場合の後流の信頼性を調べるために結果、ストローク成分はほとんど認められなかつた。すなわち、モデル背後にセットされたスプリッタープレート上に毛糸をひびかせ再付着させながらしてみると、プレート上に確認できずである。

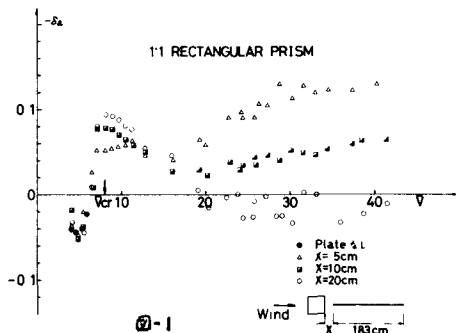


図-1は1:1の実験結果である。スプリッタープレートの無い場合、共振点付近より、非常に激しく発散しあじめ空力発散率の測定が不可能であった。しかし、共振点以下の風速域でのデータをスプリッタープレートがある場合と比較してみると、この差違はほとんど認められない。また、スプリッタープレートとモデルとの間隔Xを変えてても、その影響は認められない。

次に、次に、共振点以下で、励振が生じる1:2について実験を行なった(図-2)。共振点以下のスプリッタープレートのある場合と無い場合との差違は1:1と同様にはほとんど認められない。また、Xを変化させても、その差違は認められない。図-3は図-2の場合のスプリッタープレートのセットのしかたと異なり、スプリッタープレート下流端の位置を固定し(モデル前線より $1/R = 16.5\text{cm}$)、上流に逐次プレートを付け加えていくことによりXを変化させていった結果である。この場合も、図-2と定性的には変わらないし、共振点以下の風速域では、定量的にもよく一致している。

図-4は、図-2の場合のリミットサイクル振幅をプロットしたものである。低風速不安定現象の域では、よい一致がみられるのにに対し、共振点以上の域では、どの差違はないにしろ、若干、異なっている。実際、スプリッタープレートのある場合と無い場合とでは、高風速域では、同一風速で、その物体運動数に変化がみられる。リミットサイクル振幅にも若干、変化がみられる。

以上、スプリッタープレートとモデル背面にセットし、カルマン渦を消失させた際、共振点以下の低風速域では、カルマン渦が存在している際と、その発散率も、リミットサイクル振幅も、差違が無いことが明らかになった。

4. 結論

今回の実験で、共振点以下の低風速域は、カルマン渦と独立して存在することが明らかになった。この事実を踏まえ、共振点以下の低風速域からギロロッピングの生じる高風速域までの数学モデルを作成しようとすれば、次の点に留意しなければならない。すなはち、カルマン渦の影響を受ける風速域は、共振点付近に局限し、高風速域と同様、低風速域も、カルマン渦の影響を受けていようかシステムにしなければならない。

なお、本実験において、九大応力研の渡辺公彦、H型断面柱の低風速動揺について 第34回年次学術講演会概要集、1979年

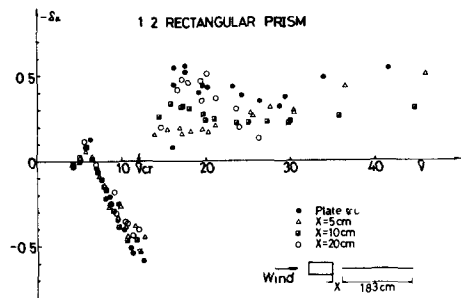


図-2

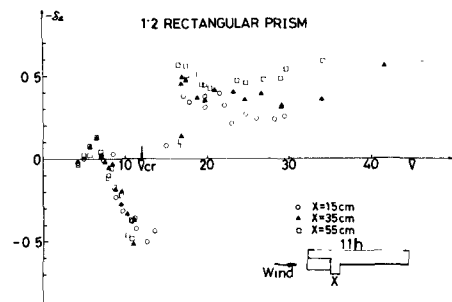


図-3

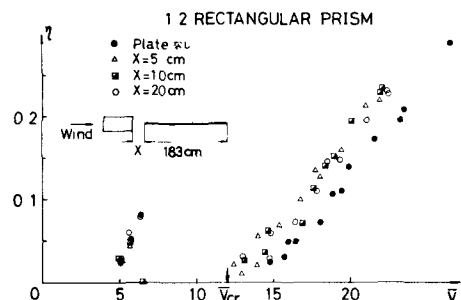


図-4

5. 参考文献

- 中村泰治、渡辺公彦、H型断面柱の低風速動揺について 第34回年次学術講演会概要集、1979年